



AKADEMIA GÓRNICZO-HUTNICZA IM. STANISŁAWA STASZICA W KRAKOWIE
WYDZIAŁ ELEKTROTECHNIKI, AUTOMATYKI,
INFORMATYKI I INŻYNIERII BIOMEDYCZNEJ

KATEDRA AUTOMATYKI I INŻYNIERII BIOMEDYCZNEJ

Praca dyplomowa magisterska

*Dwuczęściowa aplikacja sterowania czasoptymalnego w systemie
zbiorników*

A two-part application of time-optimal control in a system of tanks

Autor:	<i>Łukasz Dudek</i>
Kierunek studiów:	<i>Automatyka i Robotyka</i>
Opiekun pracy:	<i>dr hab. inż. Adam Piłat</i>

Kraków, 2017

Uprzedzony o odpowiedzialności karnej na podstawie art. 115 ust. 1 i 2 ustawy z dnia 4 lutego 1994 r. o prawie autorskim i prawach pokrewnych (t.j. Dz.U. z 2006 r. Nr 90, poz. 631 z późn. zm.): „Kto przywłaszcza sobie autorstwo albo wprowadza w błąd co do autorstwa całości lub części cudzego utworu albo artystycznego wykonania, podlega grzywnie, karze ograniczenia wolności albo pozbawienia wolności do lat 3. Tej samej karze podlega, kto rozpowszechnia bez podania nazwiska lub pseudonimu twórcy cudzy utwór w wersji oryginalnej albo w postaci opracowania, artystycznego wykonania albo publicznie zniekształca taki utwór, artystyczne wykonanie, fonogram, wideogram lub nadanie.”, a także uprzedzony o odpowiedzialności dyscyplinarnej na podstawie art. 211 ust. 1 ustawy z dnia 27 lipca 2005 r. Prawo o szkolnictwie wyższym (t.j. Dz. U. z 2012 r. poz. 572, z późn. zm.): „Za naruszenie przepisów obowiązujących w uczelni oraz za czyny uchybiające godności studenta student ponosi odpowiedzialność dyscyplinarną przed komisją dyscyplinarną albo przed sądem koleżeńskim samorządu studenckiego, zwanym dalej «sądem koleżeńskim».”, oświadczam, że niniejszą pracę dyplomową wykonałem(-am) osobiście i samodzielnie i że nie korzystałem(-am) ze źródeł innych niż wymienione w pracy.

*Serdecznie dziękuję mojemu promotorowi, dr hab.
inż. Adamowi Piłatowi za cierpliwość.*

Spis treści

Wstęp	7
1. Matematyczny opis zagadnienia	9
1.1. Wprowadzenie z zakresu dynamiki płynów	9
1.1.1. Równanie Bernoulliego i prawo Torricellego	9
1.1.2. Rodzaje przepływów	10
1.2. Model matematyczny zestawu zbiorników	11
1.3. Regulacja czasooptymalna	12
1.3.1. Ogólna definicja zagadnienia	12
1.3.2. Wyznaczanie sterowania czasooptymalnego.....	12
1.3.3. Nieliniowość układu a sterowanie czasooptymalne	12
1.3.4. Numeryczne metody wyznaczania sterowania czasooptymalnego.....	12
1.4. Regulacja liniowo - kwadratowa	12
1.4.1. Ogólna definicja zagadnienia	12
1.4.2. Linearyzacja modelu	12
1.4.3. Wyznaczanie regulatora liniowo - kwadratowego	12
1.4.4. Dobór wag w zagadnieniu liniowo - kwadratowym	12
2. Architektura zaproponowanego rozwiązania	15
2.1. Podział zadań między elementami oprogramowania	15
2.2. Część obliczeniowa („wyższego poziomu”)	15
2.2.1. Wybór pakietu do optymalizacji dynamicznej.....	15
2.2.2. Opis pakietu Modelica	15
2.2.3. Opis systemu Tango Controls	15
2.2.4. Architektura klasy urządzeń systemu Tango.....	15
2.2.5. Środowisko testowe części obliczeniowej	15
2.3. Część realizująca sterowanie („niższego poziomu”).....	15
2.3.1. Pakiet Simulink jako narzędzie realizujące sterowanie	15
2.3.2. Komunikacja z urządzeniem wykonawczym i czujnikami	15

2.4. Komunikacja między elementami oprogramowania	15
3. Badania symulacyjne	17
3.1. Optymalizacja przy użyciu pakietu JModelica.org	17
3.1.1. Inicjalizacja optymalizacji dynamicznej	17
3.1.2. Dokładność wyznaczania rozwiązania	17
3.2. Symulacja i weryfikacja	17
3.2.1. Przy użyciu pakietu JModelica.org	17
3.2.2. Przy użyciu oprogramowania MATLAB/Simulink	17
4. Badania eksperymentalne	19
4.1. Porównanie wyników eksperymentalnych z symulacyjnymi	19
4.1.1. Ocena jakości rozwiązania	19
4.2. Badanie wpływu zakłóceń na sterowanie	19
4.2.1. Wpływ czasu dyskretyzacji	19
4.2.2. Wpływ zakłóceń w ruchu sieciowym	19
4.3. Możliwe kierunki dalszego rozwiązania zaproponowanego rozwiązania	19
Zakończenie	21
List of Figures	22

Wstep

Wstęp!

1. Matematyczny opis zagadnienia

Rozważany układ składa się z trzech zbiorników połączonych szeregowo, czy też kaskadowo. W związku z tym płyn, którym jest napełniony pierwszy zbiornik - woda - przepływa przez otwór o zadanym oporze wypływu do drugiego zbiornika. Stamtąd znowu wypływa do przez otwór o zadanym oporze do trzeciego zbiornika, skąd przez kolejny taki otwór wypływa do zewnętrznego naczynia. Stamtąd woda jest pompowana z powrotem do pierwszego zbiornika. Całość układu jest przedstawiona schematycznie na rys. 1.1.

1.1. Wprowadzenie z zakresu dynamiki płynów

W niniejszym podrozdziale zostaną przypomniane podstawowe prawa fizyki związane z przepływem cieczy oraz jego związkiem z jej poziomem w zbiorniku.

1.1.1. Równanie Bernoulliego i prawo Torricellego

Równanie Bernoulliego jest jednym z podstawowych praw termodynamiki płynów idealnych. Mówi ono, że wzrost prędkości przepływu cieczy musi wiązać się ze spadkiem ciśnienia lub energii potencjalnej. Ma kilka postaci; najpopularniejszą jest tzw. szczególne równanie Bernoulliego, które wiąże energię mechaniczną płynu z jego prędkością w danym miejscu, wysokością w układzie odniesienia służącym do wyznaczania energii potencjalnej, ciśnieniem i gęstością. W takiej formie można je stosować tylko do cieczy nieściśliwych i nielepkich, jednocześnie zakładając stacjonarność i bezwirowość przepływu.

Ta szczególna postać równania Bernoulliego jest przedstawiona jako równanie 1.1.

$$e_m = \frac{v^2}{2} + gh + \frac{p}{\rho} = const \quad (1.1)$$

Oznaczenia:

- e_m - energia jednostki masy cieczy,
- v - prędkość cieczy w danym miejscu,
- g - przyspieszenie grawitacyjne,
- h - wysokość w układzie odniesienia, w którym jest wyznaczana energia potencjalna,

- p - ciśnienie cieczy w danym miejscu,
- ρ - gęstość cieczy.

Z równania Bernoulliego można wyprowadzić bezpośrednią zależność między prędkością cieczy a jej poziomem w zbiorniku. Jest ona znana pod nazwą prawa Torricellego i przedstawiona jako równanie 1.2 (przyjęto oznaczenia takie jak w przypadku równania 1.1).

$$v = \sqrt{2gh} \quad (1.2)$$

Można owo prawo zapisać w bardziej ogólnej formie słownej: prędkość wypływu cieczy jest proporcjonalna do pierwiastka kwadratowego z poziomu cieczy w zbiorniku. Takie jego sformułowanie będzie istotne przy wyznaczaniu modelu matematycznego rozważanego układu.

Na podstawie prawa Torricellego można wyznaczyć czas potrzebny na zmianę wysokości słupa cieczy w zamkniętym pojemniku. Niech:

- h będzie ową wysokością,
- x -
- v - prędkością wypływu, $v = \sqrt{2gh} = \frac{\partial x}{\partial t}$,
- A - polem przekroju poprzecznego zbiornika.

$$\begin{aligned} \frac{\partial x}{\partial t} &= v = \sqrt{2gh} \\ A \frac{\partial h}{\partial t} &= \frac{\partial x}{\partial t} \\ \frac{\partial h}{\partial t} &= \frac{\sqrt{2gh}}{A} \end{aligned} \quad (1.3)$$

1.1.2. Rodzaje przepływów

Przytoczona wcześniej szczególna postać równania Bernoulliego (równanie 1.1) jest obwarowana założeniem stacjonarności przepływu. Oznacza to dwie rzeczy:

1. Wartości wektorów prędkości cieczy są stałe w czasie.
2. Poszczególne „warstwy” cieczy nie wpływają na siebie.

Ten drugi warunek jest znany pod nazwą przepływu laminarnego, który zwykle ma miejsce przy niskich prędkościach cieczy. W takim typie przepływu nie występują żadne jego zaburzenia (ruchy wirowe, prądy przeciwne itp.), a poszczególne „warstwy” cieczy zachowują się jak karty do gry przy tasowaniu, przepływając obok siebie bez wpływania jedna na drugą. Jej cząstki będące blisko powierzchni przemieszczają się po liniach równoległych do tafli cieczy.

Niestety, w rzeczywistości ciężko jest spełnić założenie laminarności przepływu, nie mówiąc już o jego stacjonarności. W związku z tym można zastosować pewne uogólnienie prawa Torricellego na ciecze nielaminarne.

1.2. Model matematyczny zestawu zbiorników

Na podstawie podanych wcześniej zależności można zdefiniować model matematyczny rozważanego układu zbiorników. Jest dany równaniem 1.4.

$$\begin{cases} \frac{\partial h_1}{\partial t} = \frac{u - C_1 h_1^{\alpha_1}}{aw} \\ \frac{\partial h_2}{\partial t} = \frac{C_1 h_1^{\alpha_1} - C_2 h_2^{\alpha_2}}{cw + \frac{h_2}{h_{max}} bw} \\ \frac{\partial h_3}{\partial t} = \frac{C_2 h_2^{\alpha_2} - C_3 h_3^{\alpha_3}}{w \sqrt{R^2 - (R - h_3)^2}} \end{cases} \quad (1.4)$$

Oznaczenia:

- u - sterowanie pompą,
- a - szerokość pierwszego zbiornika,
- b - szerokość trójkątnej części drugiego zbiornika,
- c - szerokość prostopadłościowej części drugiego zbiornika,
- R - promień trzeciego zbiornika,
- w - głębokość zbiorników,
- h_{max} maksymalna wysokość słupa wody w zbiornikach,
- C_1 - opór wypływu z pierwszego zbiornika,
- C_2 - opór wypływu z drugiego zbiornika,
- C_3 - opór wypływu z trzeciego zbiornika,
- α_1 - współczynnik wypływu z pierwszego zbiornika,
- α_2 - współczynnik wypływu z drugiego zbiornika,
- α_3 - współczynnik wypływu z trzeciego zbiornika.

Wszystkie wymiary w powyższym wzorze zostały przedstawione na rys. 1.1.

1.3. Regulacja czasooptymalna

1.3.1. Ogólna definicja zagadnienia

1.3.2. Wyznaczanie sterowania czasooptymalnego

$$\begin{cases} \frac{\partial \psi_1}{\partial t} = \psi_1 \frac{C_1}{2aw\sqrt{h_1}} - \psi_2 \frac{C_1}{2\sqrt{h_1}(cw + \frac{h_2}{h_{max}}bw)} \\ \frac{\partial \psi_2}{\partial t} = -\psi_2 \frac{1}{cw + \frac{h_2}{h_{max}}bw} \left(\frac{b(C_1\sqrt{h_1} - C_2\sqrt{h_2})}{ch_{max} + bh_2} - \frac{C_2}{2\sqrt{h_2}} \right) - \psi_3 \frac{1}{w\sqrt{h_3}(2R - h_3)} \\ \frac{\partial \psi_3}{\partial t} = \psi_3 \frac{-C_3(3R - 2h_3)}{wh_3(2R - h_3)^{\frac{3}{2}}} \end{cases} \quad (1.5)$$

Równania sprzężone zestawu zbiorników (przy założeniu przepływu laminarnego) są dane wzorem 1.5.

1.3.3. Nieliniowość układu a sterowanie czasooptymalne

1.3.4. Numeryczne metody wyznaczania sterowania czasooptymalnego

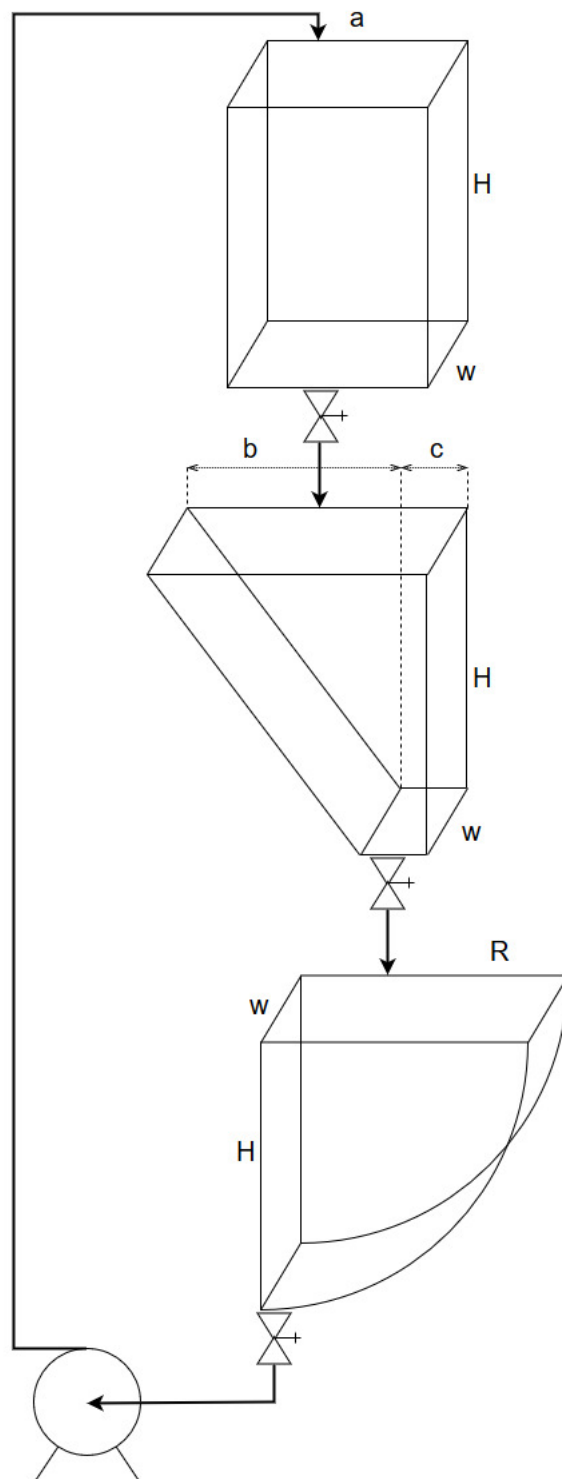
1.4. Regulacja liniowo - kwadratowa

1.4.1. Ogólna definicja zagadnienia

1.4.2. Linearyzacja modelu

1.4.3. Wyznaczanie regulatora liniowo - kwadratowego

1.4.4. Dobór wag w zagadnieniu liniowo - kwadratowym

**Rys. 1.1.** Układ zbiorników z zaznaczonymi wymiarami

2. Architektura zaproponowanego rozwiązania

2.1. Podział zadań między elementami oprogramowania

2.2. Część obliczeniowa („wyższego poziomu”)

2.2.1. Wybór pakietu do optymalizacji dynamicznej

2.2.2. Opis pakietu Modelica

2.2.3. Opis systemu Tango Controls

2.2.4. Architektura klasy urządzeń systemu Tango

2.2.4.1. Interfejs dla systemu Tango

2.2.4.2. Problem dostępności interfejsu

2.2.5. Środowisko testowe części obliczeniowej

2.3. Część realizująca sterowanie („niższego poziomu”)

2.3.1. Pakiet Simulink jako narzędzie realizujące sterowanie

2.3.2. Komunikacja z urządzeniem wykonawczym i czujnikami

2.4. Komunikacja między elementami oprogramowania

3. Badania symulacyjne

3.1. Optimalizacja przy użyciu pakietu `JModelica.org`

3.1.1. Inicjalizacja optymalizacji dynamicznej

3.1.2. Dokładność wyznaczania rozwiązania

3.2. Symulacja i weryfikacja

3.2.1. Przy użyciu pakietu `JModelica.org`

3.2.2. Przy użyciu oprogramowania MATLAB/Simulink

4. Badania eksperymentalne

4.1. Porównanie wyników eksperymentalnych z symulacyjnymi

4.1.1. Ocena jakości rozwiązania

4.2. Badanie wpływu zakłóceń na sterowanie

4.2.1. Wpływ czasu dyskretyzacji

4.2.2. Wpływ zakłóceń w ruchu sieciowym

4.3. Możliwe kierunki dalszego rozwiązania zaproponowanego rozwiązania

Zakończenie

Zakończenie!

Spis rysunków

1.1	Układ zbiorników z zaznaczonymi wymiarami	13
-----	---	----